

Міністерство освіти і науки України
Харківський національний університет імені В.Н. Каразіна
Сучасні методи аналізу сигналів і процесів

Індивідуальне домашнє завдання
Варіант №4

Студента групи МФ-21
Факультету математики та інформатики
Чистякова А.Д.

Викладач
Лазоренко О.В.

Харків

2019

Мета роботи: Закріпити та відновити знання, які були здобуті на цьому курсі, навчитися використовувати методи та техніки, розглянуті протягом лекцій, вирішуючи практичні та теоретичні задачі.

Актуальність: Вивчені функції та методи використовуються у таких сферах діяльності як: обробка сигналів, передача радіо сигналів, звукозапис, архівація даних (формати .mp3, .jpeg) тощо. Розуміння основ цих технік є невід’ємною частиною при розробці більш складних, нових систем, які потрібні для вирішення сучасних проблем.

Зміст

Завдання №1	3
Завдання №2	4
Завдання №3	5
Завдання №4	7
Завдання №5	9
Завдання №6	12
Завдання №7	14
Використана література	15

Завдання №1

Умови:

1) Довести властивість лінійності наступного інтегрального перетворення:

Адаптивне перетворення Фур'є.

Розв'язання:

1) Щоб довести лінійність, треба показати наступне:

- $F(a+b) = F(a) + F(b)$
- $F(c*a) = c * F(a)$

Адаптивне перетворення Фур'є:

$$F(A_v S(a, \tau)) = \frac{1}{\sqrt{a}} \int_{-\infty}^{+\infty} S(t) w\left(\frac{t-\tau}{a}\right) e^{-i\pi v \left(\frac{t-\tau}{a}\right)} dt$$

Доведення:

$$\begin{aligned} - \quad \square \quad F(A_v A(a, \tau) + A_v B(a, \tau)) &= \frac{1}{\sqrt{a}} \int_{-\infty}^{+\infty} (A(t) + B(t)) w\left(\frac{t-\tau}{a}\right) e^{-i\pi v \left(\frac{t-\tau}{a}\right)} dt = \\ &= \frac{1}{\sqrt{a}} \int_{-\infty}^{+\infty} A(t) w\left(\frac{t-\tau}{a}\right) e^{-i\pi v \left(\frac{t-\tau}{a}\right)} dt + \frac{1}{\sqrt{a}} \int_{-\infty}^{+\infty} B(t) w\left(\frac{t-\tau}{a}\right) e^{-i\pi v \left(\frac{t-\tau}{a}\right)} dt = \\ &= F(A_v A(a, \tau)) + F(A_v B(a, \tau)) \quad \blacksquare \end{aligned}$$

$$\begin{aligned} - \quad \square \quad F(c * A_v S(a, \tau)) &= \frac{1}{\sqrt{a}} \int_{-\infty}^{+\infty} (c * S(t)) w\left(\frac{t-\tau}{a}\right) e^{-i\pi v \left(\frac{t-\tau}{a}\right)} dt = \\ &= \frac{c}{\sqrt{a}} \int_{-\infty}^{+\infty} S(t) w\left(\frac{t-\tau}{a}\right) e^{-i\pi v \left(\frac{t-\tau}{a}\right)} dt = \\ &= c * F(A_v S(a, \tau)) \quad \blacksquare \end{aligned}$$

Завдання №2

Умови:

- 1) Отримати аналітичний вираз для спектральної функції одновимірного перетворення Фур'є $S(\omega)$ для наступного сигналу:

$$S(t) = A \cos(\omega_0 t - \varphi_0)$$

- 2) Побудувати частотні залежності $|S(\omega)|$ та $\arg S(\omega)$.

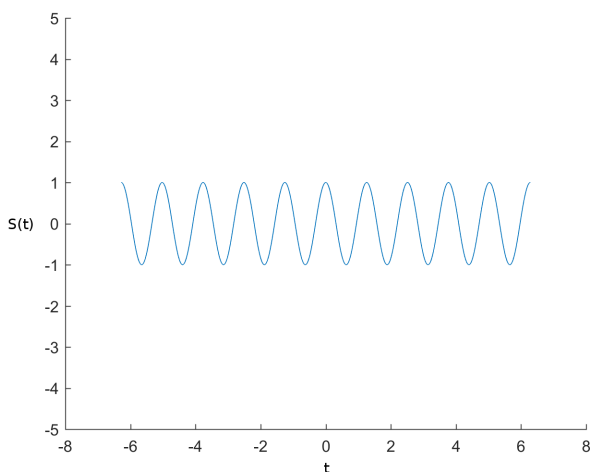
Розв'язання:

$$1) A \cos(\omega_0 t - \varphi_0) = A \frac{e^{i(\omega_0 t - \varphi_0)} + e^{-i(\omega_0 t - \varphi_0)}}{2} = \frac{A}{2} \left(\frac{e^{i\omega_0 t}}{e^{i\varphi_0}} + \frac{e^{-i\omega_0 t}}{e^{-i\varphi_0}} \right)$$

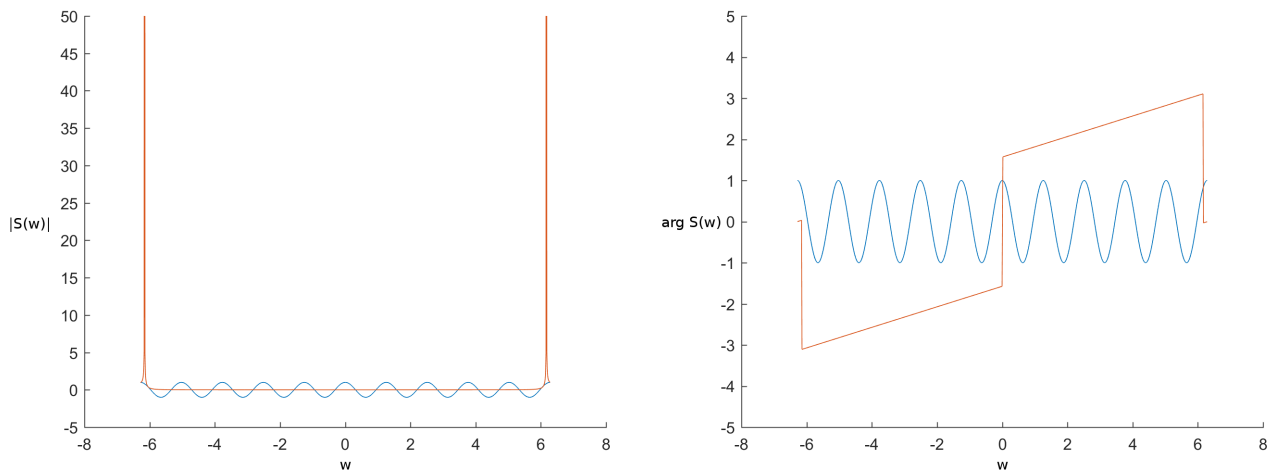
$$\int_{-\infty}^{+\infty} \frac{1}{2\pi} e^{it(\omega_0 - \omega)} dt = \delta(\omega - \omega_0), \text{ де } \delta(\omega - \omega_0) - \text{дельта функція Дірака;}$$
$$\delta(-x) = \delta(x)$$

$$\begin{aligned} F &= \frac{A}{2} \int_{-\infty}^{+\infty} \left(\frac{e^{i\omega_0 t}}{e^{i\varphi_0}} + \frac{e^{-i\omega_0 t}}{e^{-i\varphi_0}} \right) e^{-i\omega t} dt = \frac{A}{2e^{i\varphi_0}} \int_{-\infty}^{+\infty} e^{i\omega_0 t} e^{-i\omega t} dt + \frac{A}{2e^{-i\varphi_0}} \int_{-\infty}^{+\infty} e^{-i\omega_0 t} e^{-i\omega t} dt = \\ &= \frac{A\pi}{e^{i\varphi_0}} \int_{-\infty}^{+\infty} \frac{1}{2\pi} e^{it(\omega_0 - \omega)} dt + \frac{A\pi}{e^{-i\varphi_0}} \int_{-\infty}^{+\infty} \frac{1}{2\pi} e^{it(-\omega_0 - \omega)} dt = \\ &= \frac{A\pi}{e^{i\varphi_0}} \delta(\omega - \omega_0) + \frac{A\pi}{e^{-i\varphi_0}} \delta(\omega + \omega_0) \end{aligned}$$

- 2) Ось так виглядає сигнал на проміжку:



Ось так виглядають $|S(\omega)|$ (ліворуч) та $\arg S(\omega)$ (праворуч):



Завдання №3

Умови:

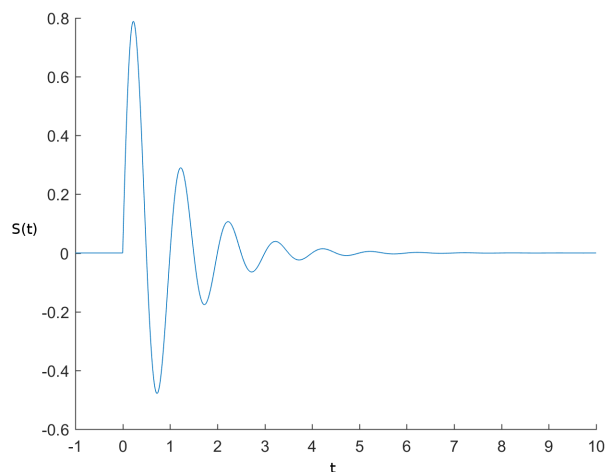
- 1) Змодельовати за допомоги комп'ютера наступний сигнал $S(t)$ з використанням $N=1024$ дискретних відліків цього сигналу:

$$S(t) = A_0 e^{(-\alpha t)} \sin(2\pi f_0 t) \eta(t), \text{ де } \eta(t) - \text{функція Хевісайда.}$$

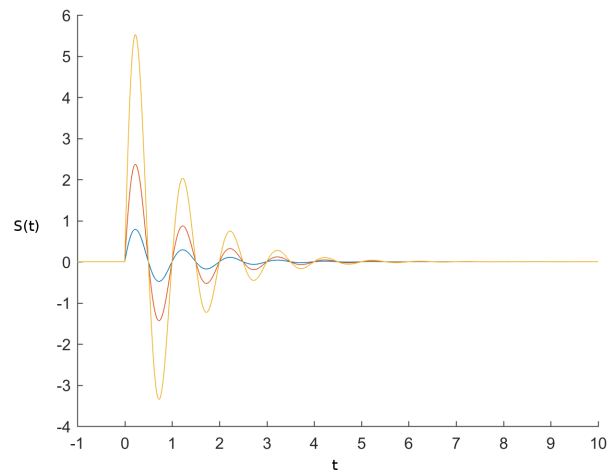
- 2) З'ясувати фізичний сенс параметрів сигналу. Побудувати графіки $S(t)$ за декількох різних значень цих параметрів, що пояснюють з'ясований сенс.

Розв'язання:

- 1) Ось так виглядає сигнал:

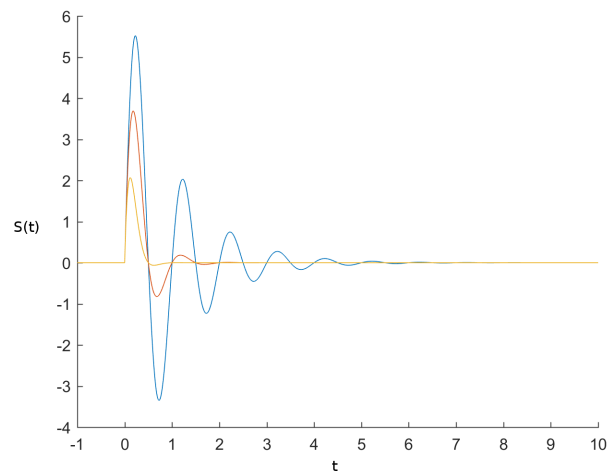


2) - Побудуємо цей сигнал змінюючи параметр A_0 :



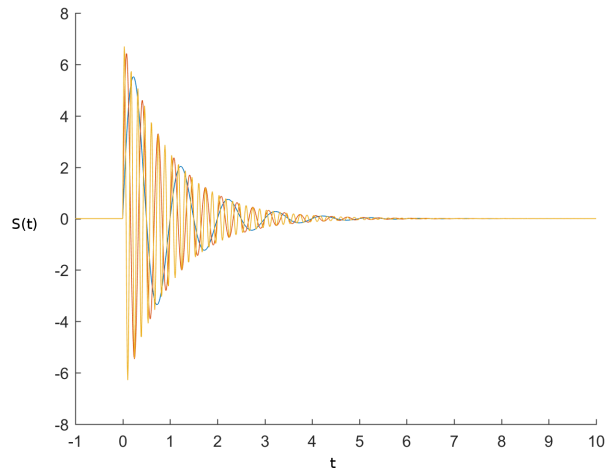
Побачимо, що даний параметр змінює **амплітуду** сигналу.

- Побудуємо цей сигнал змінюючи параметр α :



Побачимо, що даний параметр змінює потужність **згасання** сигналу.

- Побудуємо цей сигнал змінюючи параметр f_0 :



Побачимо, що даний параметр змінює **частоту** сигналу.

Завдання №4

Умови:

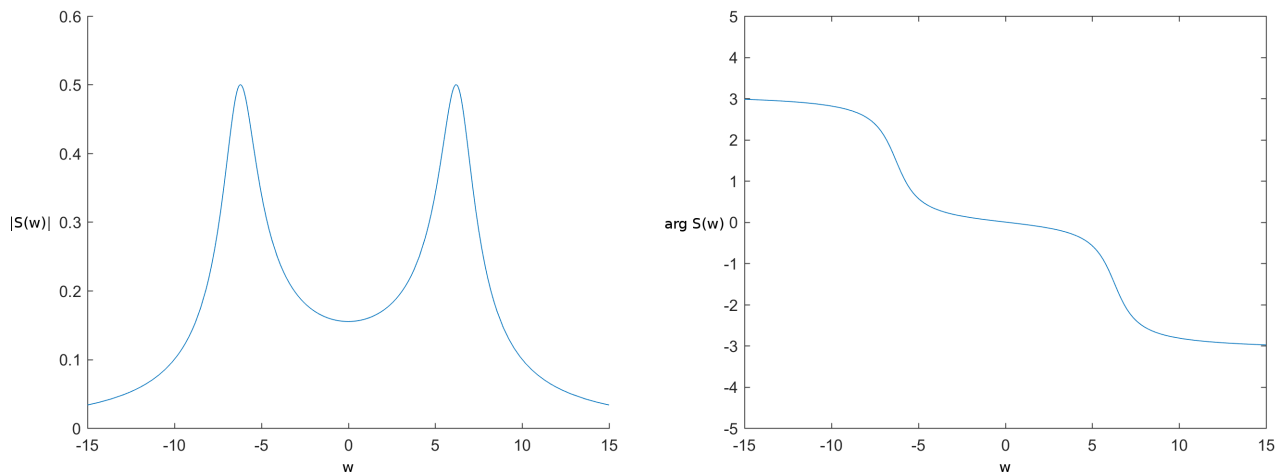
- 1) За допомоги числових методів отримати спектральну функцію $S(\omega)$ одновимірного перетворення Фур'є для сигналу, який було змодельовано у попередньому завданні для довільної комбінації параметрів. Побудувати частотні залежності $|S(\omega)|$ та $\arg S(\omega)$.
- 2) Отримати на практиці підтвердження існування явища Гібса. Для цього у спектральній функції сигналу з попереднього завдання необхідно поступово зануляти високочастотну частину, після чого проводити обернене одновимірне перетворення Фур'є і порівнювати відбудований сигнал із початковим. Побудувати серію графіків, що відображають динаміку процесу, що відбувається. Зробити висновки.

Розв'язання:

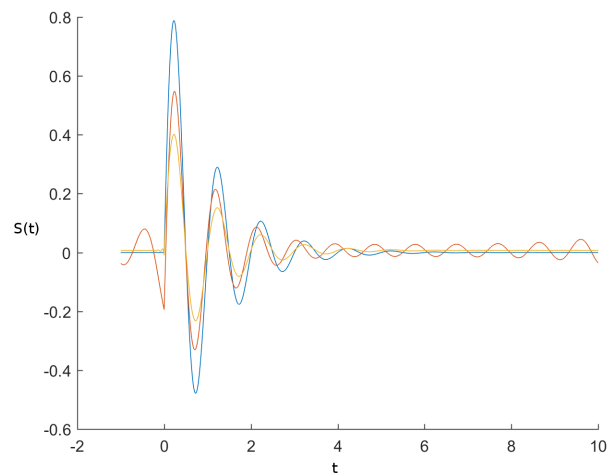
- 1) Після застосування одновимірного перетворення Фур'є, сигнал має такий вигляд:

$$F = \frac{-i}{2(\omega i - \pi \cdot 2i + 1)} + \frac{i}{2(\omega i + \pi \cdot 2i + 1)}$$

Графіки $|S(\omega)|$ (ліворуч) та $\arg S(\omega)$ (праворуч) виглядають наступним чином:



2) Явище Гібса можна побачити на графіку:



Висновки:

Чим більші частоти, які зануляються, тим більше функція схожа на себе після застосування оберненого перетворення Фур'є. Чим ці частоти менші, тим більше період осциляцій, які з'являються, що і демонструють явище Гібса.

Завдання №5

Умови:

- 1) Для сигналу, побудованого у завданні 3, числовими методами отримати спектральні функції $Sf(\omega, \tau)$ динамічного перетворення Фур'є та $Gf(\omega, \tau)$ перетворення Габора для одного обраного вікна, але для трьох різних значень його ширини. На часо-частотній площині побудувати залежності $\|Sf(\omega, \tau)\|$, $\arg Sf(\omega, \tau)$, $\|Gf(\omega, \tau)\|$, $\arg Gf(\omega, \tau)$. Порівняти їх між собою. Зробити висновки.

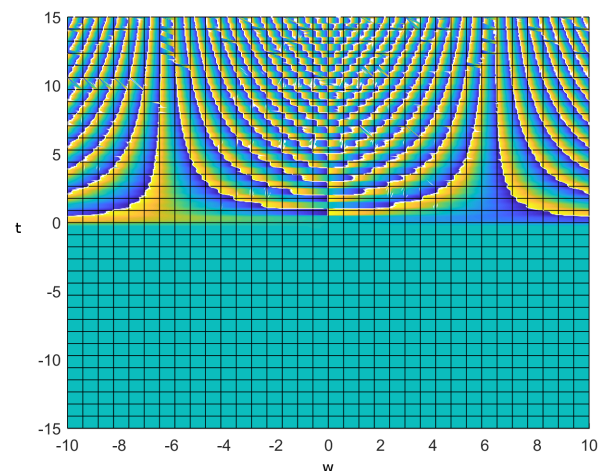
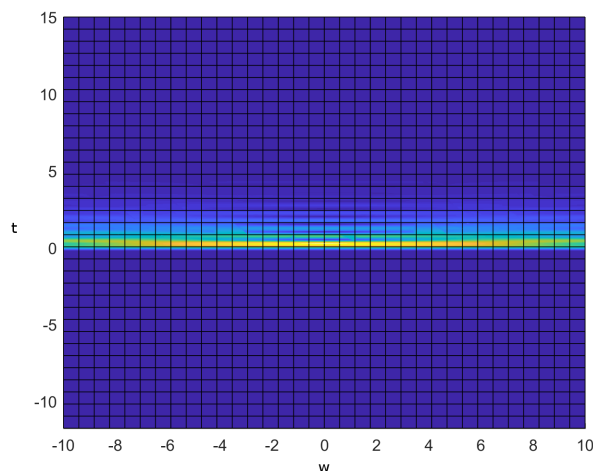
Розв'язання:

- 1) Перетворена функція за допомогою ДПФ виглядає наступним чином:

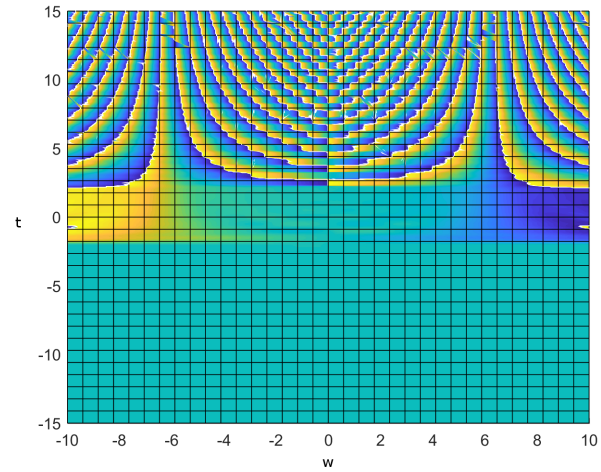
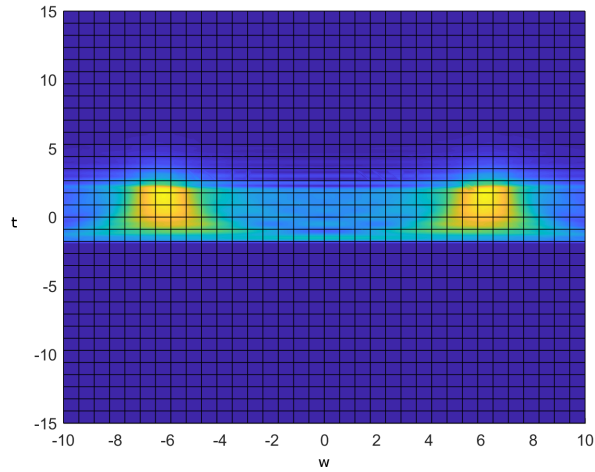
$$F = \int_{-\infty}^{+\infty} A_0 e^{(-\alpha t)} \sin(2\pi f_0 t) \text{heviside}(t) W(t-\tau) e^{(-i\omega t)} dt$$

Далі демонструються графіки, де $\|Sf(\omega, \tau)\|$ ліворуч та $\arg Sf(\omega, \tau)$ праворуч (було обрано прямокутне вікно).

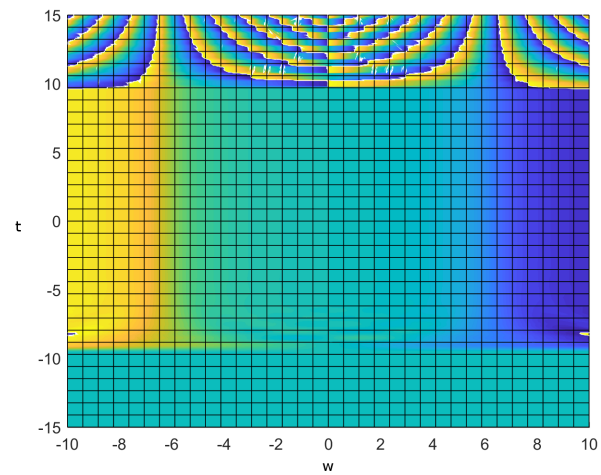
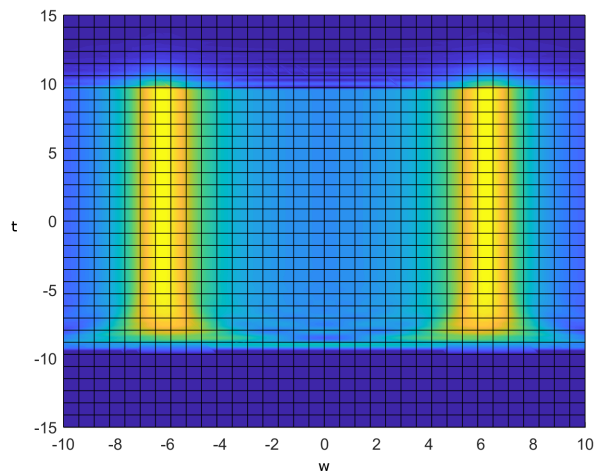
Ширина вікна дорівнює 0.5:



Ширина вікна дорівнює 5:



Ширина вікна дорівнює 20:

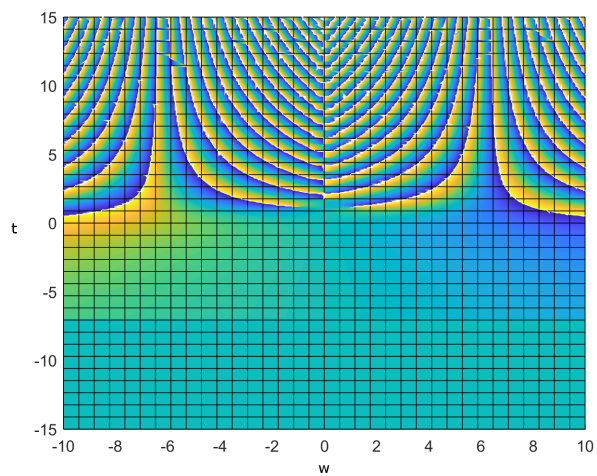
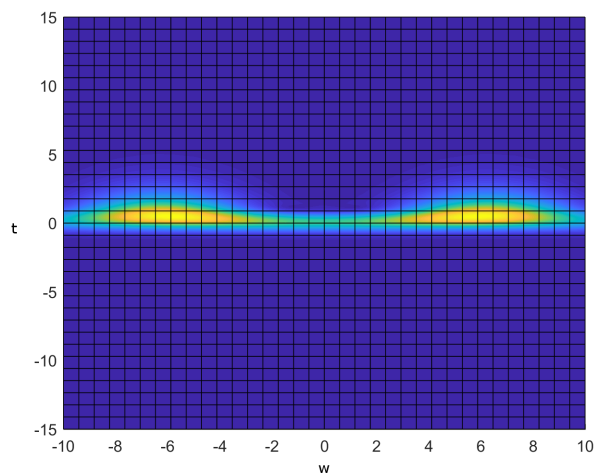


1) Перетворена функція за допомогою ПГ виглядає наступним чином:

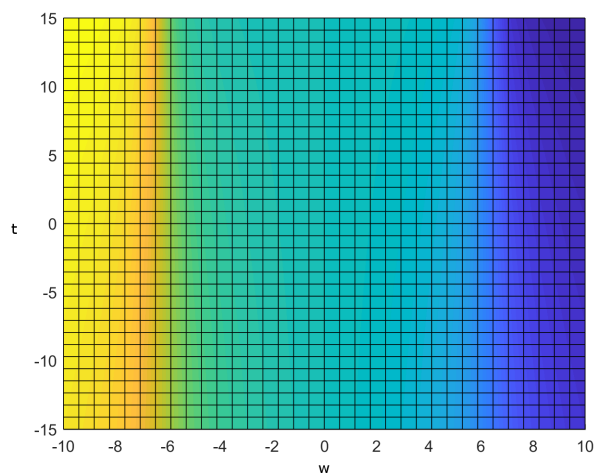
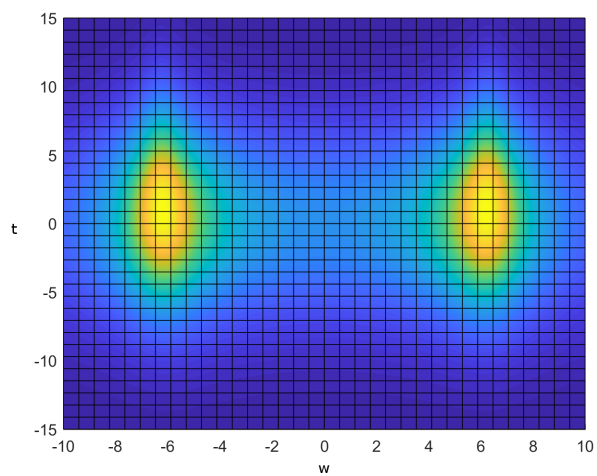
$$F = \frac{1}{(\pi \sigma^2)^{\frac{1}{4}}} \int_{-\infty}^{+\infty} A_0 e^{(-at)} \sin(2\pi f_0 t) \text{heviside}(t) e^{\frac{-(t-\tau)^2}{2\sigma^2}} e^{(-i\omega t)} dt$$

Далі демонструються графіки, де $|Gf(\omega, \tau)|$ ліворуч та $\arg Gf(\omega, \tau)$ праворуч.

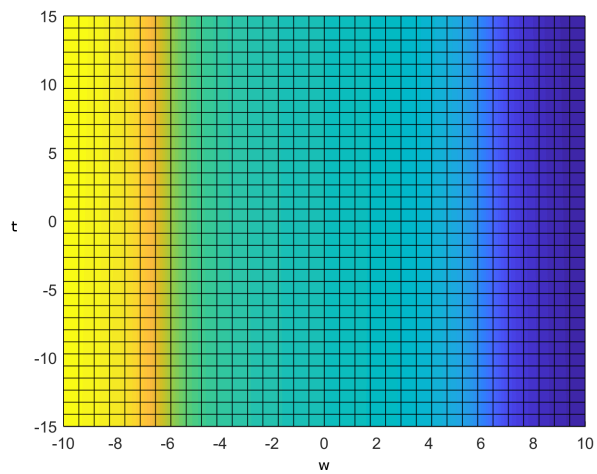
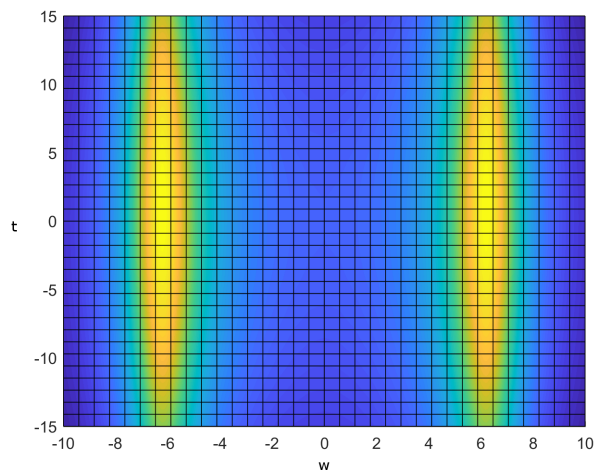
Ширина вікна дорівнює 0.5:



Ширина вікна дорівнює 5:



Ширина вікна дорівнює 20:



Висновки:

Можна побачити, що при маленькій ширині вікна функція має гарне розрізнення по частоті, але погане по часу. Якщо почати збільшувати ширину, розрізнення по часу покращиться, а по частоті - погіршиться. Також треба звернути увагу на те, що перетворення Габора набагато краще відображає сигнал, ніж динамічне перетворення Фур'є з обраним прямокутним вікном.

Завдання №6

Умови:

1) З використанням вейвлетів Хаара

$$\begin{cases} -1 & -1 \leq t \text{ and } t < 0 \\ 1 & 0 \leq t \text{ and } t \leq 1 \\ 0 & 1 < |t| \end{cases}$$

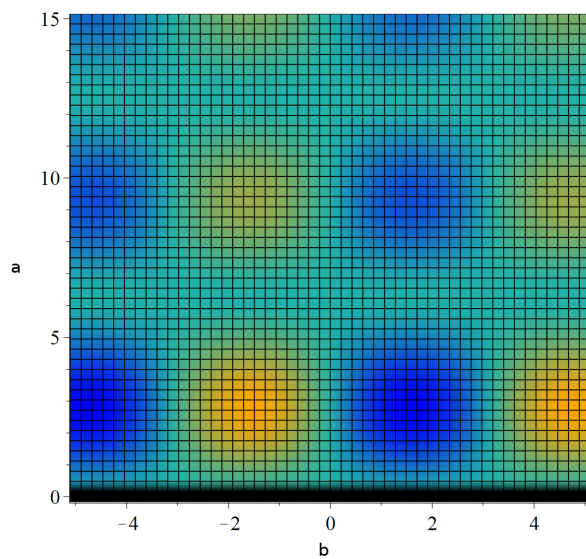
і Гауса $\psi(t) = t e^{\frac{-t^2}{2}}$ числовими методами отримати спектральні функції $Wf(a, b)$ безперервного вейвлет-перетворення сигналу із завдання 2. Порівняти отримані аналітичні та числові результати, побудувати відповідні графіки на часо-частотній площині.

Розв'язання:

1) Після застосування БВП з вейвлетом Хаара, функція має такий вигляд:

$$\begin{cases} \frac{I(\cos(a) \sin(b) + \sin(a) \cos(b) - \sin(b))}{\sqrt{-a}} - \frac{I(\sin(a) \cos(b) - \cos(a) \sin(b) + \sin(b))}{\sqrt{-a}} & a \leq 0 \\ -\frac{\sin(a) \cos(b) - \cos(a) \sin(b) + \sin(b)}{\sqrt{a}} + \frac{\cos(a) \sin(b) + \sin(a) \cos(b) - \sin(b)}{\sqrt{a}} & 0 < a \end{cases}$$

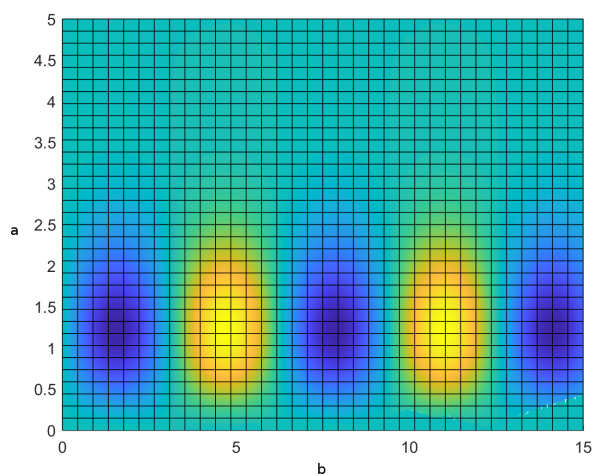
Далі наведено графік БВП з використанням вейвлета Хаара:



Після застосування БВП з вейвлетом Гауса, функція має такий вигляд:

$$F(a, b) = \frac{1}{\sqrt{|a|}} \int_{-\infty}^{+\infty} A \cos(\omega_0 t - \varphi_0) \frac{t-b}{a} e^{-\frac{(t-b)^2}{2a}} dt$$

Далі наведено графік БВП з використанням вейвлета Гауса:



Завдання №7

Умови:

- 1) З використанням вейвлетів Хаара та Гауса отримати числовими методами отримати спектральну функцію $Wf(a, b)$ безперервного вейвлет-перетворення сигналу із завдання 3. Побудувати відповідні графіки на часо-частотній площині. Порівняти з результатами, що отримано у завданні 5. Зробити висновки.

Розв'язання:

- 1) Після застосування БВП з вейвлетом Хаара, функція має такий вигляд:

Нажаль ця функція виявилася надто великою для демонстрації.

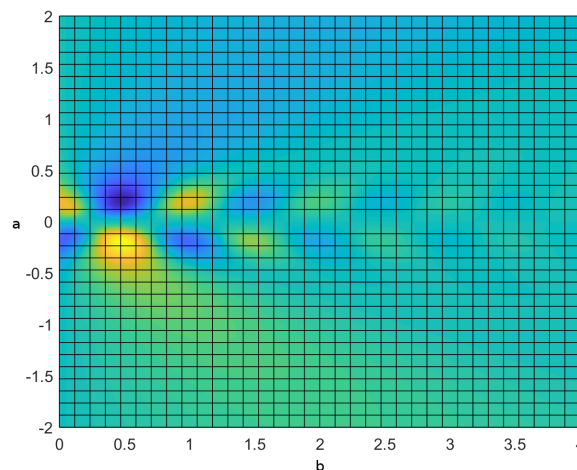
Далі наведено графік БВП з використанням вейвлета Хаара:

Користуючись Matlab та Maple, ці програми були невзможі побудувати графік.

Після застосування БВП з вейвлетом Гауса, функція має такий вигляд:

$$F(a, b) = \frac{1}{\sqrt{|a|}} \int_{-\infty}^{+\infty} A_0 e^{(-\alpha t)} \sin(2\pi f_0 t) \text{heviside}(t) e^{\frac{-(t-\tau)^2}{2\sigma^2}} \frac{t-b}{a} e^{\left(\frac{t-b}{a}\right)^2} dt$$

Далі наведено графік БВП з використанням вейвлета Гауса:



Використана література

- 1) О. В. Лазоренко, Л. Ф. Черногор Сверхширокополосные сигналы и физические процессы. // 2. Методы анализа и применение.
Радиофизика и радиоастрономия, 2008, т. 13, №4, с. 270-322.